

3
B-72
03



ОБЪЕДИНЕННЫЙ ИНСТИТУТ ЯДЕРНЫХ ИССЛЕДОВАНИЙ
Лаборатория теоретической физики

Ю. Вольф и В. Целлер

Д-703

τ -РАСПАД И $\pi\pi$ -ВЗАИМОДЕЙСТВИЕ
ЖЭТФ, 1961, т 41, в 3, с. 835-841.

Ю. Вольф и В. Целлнер

Д-703

τ -РАСПАД И $\bar{K}K$ -ВЗАИМОДЕЙСТВИЕ

Направлено в ЖЭТФ

1040/5 48.

ЦЕНТРАЛЬНЫЙ ИНСТИТУТ
ЯДЕРНЫХ ИССЛЕДОВАНИЙ
БИБЛИОТЕКА

Выводятся интегральные уравнения для определения τ -распада. Анализ эффективного радиуса дает значения длин рассеяния s -волн для $\pi\pi$ -взаимодействия, которые позволяют воспроизвести экспериментальный спектр τ -распада. Хорошее согласие с экспериментом получается при $\alpha_1 \approx 0,2$; $\alpha_2 \approx 0,3$. Эти значения вместе с интегральными уравнениями для $\pi\pi$ -рассеяния свидетельствуют в пользу существования $(T=2)$ -резонанса в $\pi\pi$ -взаимодействии.

1. Введение

τ -распад является одним из немногих процессов, которые позволяют исследовать $\pi\pi$ -взаимодействие без влияния других частиц. Низкая кинетическая энергия вылетающих пионов облегчает теоретический анализ, а довольно обширные экспериментальные данные позволяют сравнить теорию с экспериментом.

Для исследования τ -распада предлагается использование представления Маидельстама. Надо отметить, однако, что в представлении для процессов распада спектральные функции будут, вообще говоря, комплексными^{/1/}. В работе^{/2/} было показано, что мнимая часть спектральных функций соответствует процессам с тремя частицами в промежуточных состояниях^{х/}. В двухчастичном приближении, которое мы используем, мнимая часть спектральных функций не дает вклада. В настоящей работе рассматривается следствие такого приближения. Аналогичные соображения использовались Кури и Трейманом^{/3/}.

В дальнейшем для определения τ -распада выписываются интегральные уравнения с учетом взаимодействия π -мезонов в s - и p -состояниях. Таким образом, в принципе, возникает возможность проверки решений интегральных уравнений $\pi\pi$ -рассеяния.

Для оценки таких данных о $\pi\pi$ -взаимодействии, как длины рассеяния, можно пренебречь p -волнами. Сравнение рассчитанного матричного элемента с экспериментальным спектром τ -распада дает оценку длин рассеяния

s -волн $\pi\pi$ -взаимодействия. Воспользовавшись этими длинами рассеяния и интегральными уравнениями работы^{/4/} можно получить сведения о $\pi\pi$ -взаимодействии.

2. Интегральные уравнения с учетом s - и p -волн

Для получения уравнений для τ^+ - и τ^0 -распада на три π -мезона рассмотрим следующие реакции:

^{х/} Авторы благодарны Г. Бониеве за присланный препринт, в котором также обсуждается этот вопрос.

$$K^+ + \pi_1^- \rightarrow \pi_2^+ + \pi_3^- , \quad /1/$$

$$K^+ + \pi_2^- \rightarrow \pi_3^+ + \pi_1^- , \quad /2/$$

$$K^+ + \pi_3^- \rightarrow \pi_1^+ + \pi_2^- ; \quad /3/$$

$$K^+ + \pi_1^0 \rightarrow \pi_2^+ + \pi_3^0 , \quad /1'/$$

$$K^+ + \pi_2^0 \rightarrow \pi_3^+ + \pi_1^0 , \quad /2'/$$

$$K^+ + \pi_3^0 \rightarrow \pi_1^+ + \pi_2^0 . \quad /3'/$$

Инвариантные переменные этих процессов в с.ц.м. реакции /3/ принимают следующий вид:

$$s_1 = \gamma - 2q_3^2 + 2p_3 q_3 z_3 , \quad /1/$$

$$s_2 = \gamma - 2q_1^2 - 2p_1 q_1 z_1 ,$$

$$s_3 = 4(q_3^2 + \mu^2) .$$

Здесь m , μ обозначают соответственно массу K -мезона и массу пиона; $\gamma = \frac{1}{2}(m^2 - \mu^2)$; p_3, q_3 — импульсы частиц до и после столкновения, z_3 обозначает косинус угла рассеяния. Аналогичные соотношения справедливы в с.п.м. других реакций.

s_i удовлетворяют условию

$$s_1 + s_2 + s_3 = m^2 + 3\mu^2 . \quad /2/$$

В дальнейшем мы будем использовать также следующие инвариантные комбинации:

$$2\eta_1 = s_2 - s_3 = 4 p_1 q_1 z_1 ,$$

$$2\eta_2 = s_3 - s_1 = 4 p_2 q_2 z_2 , \quad /3/$$

$$2\eta_3 = s_1 - s_2 = 4 p_3 q_3 z_3 .$$

Нам нужны значения инвариантных переменных для $z_i = \pm 1$. В этом случае получаем

$$s_1 s_2 s_3 = \mu^2 (m^2 - \mu^2)^2 \quad (z_i = \pm 1) . \quad /4/$$

На рис. 1 представлено соотношение /4/. Здесь I, II, III — физические области соот-

ветствующих процессов рассеяния, IV соответствует процессу распада. Эта область в случае нереальной массы K -мезона $m = 3\mu$ стягивается в точку. Для действительных $s_i = 4/v_i + 1$ ^{x/} при $m = 3,6$ произведение $(p; q)$ становится комплексным при

$$-1 < v_i < 0 ; 0,7 < v_i < 4,3.$$

Мы принимаем следующее представление

$$A(s_1, s_2, s_3) = \frac{1}{\pi} \int_{\frac{1}{4}}^{\infty} \frac{\rho(s') + \eta_1 \sigma(s')}{s' - s_1} ds' + \frac{1}{\pi} \int_{\frac{1}{4}}^{\infty} \frac{\rho(s') - \eta_2 \sigma(s')}{s' - s_2} ds' + \frac{1}{\pi} \int_{\frac{1}{4}}^{\infty} \frac{\lambda(s')}{s' - s_3} ds', \quad /5/$$

которое при $m \leq 3$ может быть получено как приближение Чини-Фубини^{/5/} для s - и p -волн из обычного представления Мандельштама. При $\sigma = 0$ в приближении s -волн соотношение /5/ использовалось в работах^{/3,6/}.

Из /5/ и условий унитарности для процессов 1 и 3 мы получим уравнения, которые определяют функции ρ, λ, σ . Мы запишем разложение по парциальным волнам амплитуд рассеяния в следующем виде

$$A(v, z) = A_0(v) + 3pqz A_1(v) \quad /6/$$

и определим s - и p -волны соответственно с помощью

$$A_0(v) = \frac{1}{2} \{ A(+) + A(-) \}, \quad /7a/$$

$$A_1(v) = \frac{1}{6pq} \{ A(+) - A(-) \}. \quad /7b/$$

Здесь $A(\pm) = A(v, z = \pm 1)$; d - и более высокими волнами пренебрегаем.

В последующем мы обозначим амплитуды s -волн процессов 3 и 1 с помощью F_0 и G_0 , а амплитуды процессов 3' и 1' с помощью f_0 и g_0 , соответственно. Амплитуды p -волн обозначены соответственно через G_1 и g_1 .

Из /5/, /7/ и /1/ мы получаем следующие уравнения

^{x/} Мы обозначим $v_i = q_i^2$; $\mu^2 = 1$.

$$F_0(s) = \mathcal{L}^F + \frac{s-4}{\pi} \int_4^{\infty} \frac{ds' \lambda(s')}{(s'-4)(s'-s)} + \frac{2}{\pi} \int_4^{\infty} \frac{ds' g(s')}{s'-\gamma} \frac{(\alpha-\gamma)(s'-\alpha) + 4p^2q^2}{(s'-\alpha)^2 - 4p^2q^2} - \frac{1}{\pi} \int_4^{\infty} \frac{ds' \sigma(s')}{(s'-\alpha)^2 - 4p^2q^2} \frac{(6v+4-\gamma)(s'-\alpha) + 4p^2q^2}{s'-\gamma} - \frac{\gamma-4}{\pi} \int_4^{\infty} \frac{ds' \sigma(s')}{s'-\gamma}, \quad /8/$$

$$G_0(s) = \mathcal{L}^G + \frac{s-4}{\pi} \int_4^{\infty} \frac{ds' g(s')}{(s'-4)(s'-s)} + \frac{1}{\pi} \int_4^{\infty} \frac{ds'}{s'-\gamma} \left\{ g(s') + \lambda(s') \right\} \frac{(\alpha-\gamma)(s'-\alpha) + 4p^2q^2}{(s'-\alpha)^2 - 4p^2q^2} + \frac{1}{2\pi} \int_4^{\infty} \frac{ds' \sigma(s')}{(s'-\alpha)^2 - 4p^2q^2} \frac{(6v+4-\gamma)(s'-\alpha) + 4p^2q^2}{s'-\gamma} + \frac{\gamma-4}{2\pi} \int_4^{\infty} \frac{ds' \sigma(s')}{s'-\gamma}, \quad /9/$$

где $\alpha = \frac{m^2-1}{2} - 2v = \gamma - 2v$. Для F_0 вычитание произведено в точке $s_1 = s_2 = \gamma, s_3 = 4$, а для G_0 в точке $s_1 = 4, s_2 = s_3 = \gamma$, где $\mathcal{L}^F = A(\gamma, \gamma, 4)$ и $\mathcal{L}^G = A(4, \gamma, \gamma)$. Эти комплексные постоянные связаны соотношением /5/. Отметим, что в уравнения /8/, /9/ входят фактически только действительные части $\mathcal{L}^F, \mathcal{L}^G$, поэтому появляется только одна постоянная.

Для p -волны мы получаем уравнение

$$G_1(s) = \frac{1}{\pi} \int_4^{\infty} \frac{ds' \frac{2}{3} \sigma(s')}{s'-s} + \frac{1}{\pi} \int_4^{\infty} \frac{ds' \frac{2}{3} \frac{g(s') - \lambda(s')}{(s'-\alpha)^2 - 4p^2q^2}}{s'-\gamma} + \frac{1}{\pi} \int_4^{\infty} \frac{ds' \sigma(s')}{3} \frac{s'-2\alpha+s}{(s'-\alpha) - 4p^2q^2}. \quad /10/$$

Заметим, что в /8/, /9/, /10/ величина (pq) появляется только в четных степенях, поэтому мнимая часть обращается в нуль в областях, где $(pq)^2$ становится отрицательной. Для g, λ и σ условия унитарности дают

$$\vartheta = \sqrt{\frac{\nu}{\nu+1}} \left\{ G_0 \dot{\Pi}_0^* - \frac{1}{6} F_0 (\dot{\Pi}_0^* - \dot{\Pi}_0^+) \right\}, \quad /11a/$$

$$\lambda = \sqrt{\frac{\nu}{\nu+1}} F_0 \dot{\Pi}_0^*, \quad /11б/$$

$$\frac{2}{3} \sigma = \sqrt{\frac{\nu}{\nu+1}} G_1 \dot{\Pi}_1^*. \quad /11в/$$

$\dot{\Pi}_i^*$ - парциальные амплитуды $\pi\pi$ -рассеяния для изотопического спина T.

При выводе /11а/, /11б/, /11в/ использовано правило отбора $|\Delta T| = \frac{1}{2}$, которое дает следующие соотношения между амплитудами, определяющими распад:

$$F_0 = 2g_0, \quad /12а/$$

$$G_0 = f_0 + g_0, \quad /12б/$$

$$G_1 = -g_1. \quad /12в/$$

Уравнения /8/, /9/, /10/ могут быть записаны в виде дисперсионных соотношений в ν -плоскости. Для $F_0(\nu)$, например, получаем

$$F_0(\nu) = \mathcal{L}^F + \frac{\nu}{\pi} \int_0^{\infty} \frac{d\nu' \lambda(\nu')}{\nu'(\nu' - \nu)} + \frac{\nu}{\pi} \int_0^{\infty} d\nu' \frac{\vartheta(\alpha' + 2\rho'q') + \left\{ \frac{1}{2}\alpha' - 2 - 2\nu' - \rho'q' \right\} \sigma(\alpha' + 2\rho'q')}{\nu'(\nu' - \nu)} \quad /13/$$

$$+ \frac{\nu}{\pi} \left\{ \int_{-\infty}^{-1} + \int_0^{\infty} \right\} d\nu' \frac{\vartheta(\alpha' - 2\rho'q') + \left\{ \frac{1}{2}\alpha' - 2 - 2\nu' + \rho'q' \right\} \sigma(\alpha' - 2\rho'q')}{\nu'(\nu' - \nu)},$$

где $\alpha' = \alpha(\nu')$, $\rho' = \rho(\nu')$, и т.д.

На таблице 1 показано изменение $\nu^{\pm} = \alpha' \pm 2\rho'q'$ в пределах интегрирования по ν' .

Таблица 1.

ν'	$-\infty$	-1,65	-1	0	0,5	0,7
ν^+	$+\infty$	+4,3	$+\infty$	0,5	1	0,15
ν^-	-	-	-	0,5	0	0,15

Мы видим, что область $1 < v^2 < 4,3$ не дает вклада в дисперсионные соотношения. Поэтому возможный резонанс в P -волне $\pi\pi$ -взаимодействия, который ожидается приблизительно в этой области, практически мало влияет на значения F_0 и G_0 . Следует напомнить, что область физического τ -распада ограничена $v = 0,7$, поэтому амплитуды с большими значениями v будут оказывать лишь незначительное влияние на распад. Несмотря, однако, на слабое влияние P -волн, их учет может быть важен для проверки решений интегральных уравнений $\pi\pi$ -взаимодействия.

3. Уравнения для S -амплитуд и анализ в приближении эффективного радиуса

Пренебрегая членами, содержащими P -волну в /8/, /9/, можно получить систему интегральных уравнений только для S -волн. Однако, чтобы получить первую числовую оценку, более удобно использовать систему интегральных уравнений, полученную в /5/ путем интегрирования вдоль прямых $z_i = 0$. Поэтому вместо /8/, /7/ мы выбираем следующее определение для S -волн:

$$A(v, z=0) = A_0(v). \quad /14/$$

Это приводит к соотношениям

$$\operatorname{Re} F_0(v) = \Lambda + P \frac{1}{\pi} \int_0^{\bar{v}} dv' \lambda(v') \left\{ \frac{1}{v' - v} - \frac{1}{v' - v_0} \right\} + P \frac{2}{\pi} \int_0^{\bar{v}} dv' \varphi(v') \left\{ \frac{1}{v' - \frac{1-v}{2}} - \frac{1}{v' - v_0} \right\}, \quad /15a/$$

$$\operatorname{Re} G_0(v) = \Lambda + P \frac{1}{\pi} \int_0^{\bar{v}} dv' \chi(v') \left\{ \frac{1}{v' - v} - \frac{1}{v' - v_0} \right\} + P \frac{1}{\pi} \int_0^{\bar{v}} dv' \left\{ \varphi(v') + \lambda(v') \right\} \left\{ \frac{1}{v' - \frac{1-v}{2}} - \frac{1}{v' - v_0} \right\}. \quad /15b/$$

Вычитание проделано в точке $v_1 = v_2 = v_3 = \frac{1}{3} = v_0$, где $\Lambda = \operatorname{Re} A(v_0, v_0, v_0)$. В области физического τ -распада мы имеем

$$\left. \begin{aligned} \operatorname{Im} F_0(v) &= \lambda(v) + 2\varphi\left(\frac{1-v}{2}\right), \\ \operatorname{Im} G_0(v) &= \varphi(v) + \varphi\left(\frac{1-v}{2}\right) + \lambda\left(\frac{1-v}{2}\right). \end{aligned} \right\} 0 \leq v \leq 1 \quad /16a/$$

/16b/

Соотношения /15/, /16/ используются для анализа в приближении эффективно-

го радиуса. Указанное приближение должно быть довольно хорошим ввиду слабой энергетической зависимости τ -распада. Таким путем Кури и Трейман^{/3/} получили из сравнения с опытом оценки для разности длин S -рассеяния

$\pi\pi$ -взаимодействия. Их исследования, однако, должны быть уточнены, например, с помощью учета влияния мнимой части на вероятность распада.

Мы исходим из следующего приближения:

$$\sqrt{\frac{v}{v+1}} \Pi_0^T(v) = \frac{\alpha_T \sqrt{v}}{1 - i\alpha_T \sqrt{v}} = \alpha_T \sqrt{v}; \quad F_0 \approx G_0 \approx 1. \quad /17a/$$

Подставляя /17/ в /15/, /18/, мы получим

$$\frac{1}{\Lambda} \operatorname{Re} F_0(v) = 1 + \frac{\alpha_1}{\pi} Z_1(v) + \frac{5\alpha_0 + \alpha_1}{3\pi} Z_2(v), \quad /18a/$$

$$\frac{1}{\Lambda} \operatorname{Re} G_0(v) = 1 + \frac{5\alpha_0 + \alpha_1}{6\pi} Z_1(v) + \frac{5\alpha_0 + 7\alpha_1}{6\pi} Z_2(v); \quad /18b/$$

$$\frac{1}{\Lambda} \operatorname{Im} F_0(v) = \alpha_1 \sqrt{v} + \frac{5\alpha_0 + \alpha_1}{3} \sqrt{\frac{1-v}{2}}, \quad /19a/$$

$$\frac{1}{\Lambda} \operatorname{Im} G_0(v) = \frac{5\alpha_0 + \alpha_1}{6} \sqrt{v} + \frac{5\alpha_0 + 7\alpha_1}{6} \sqrt{\frac{1-v}{2}}, \quad /19b/$$

где

$$Z_1(v) = \sqrt{v} \ln \frac{1 - \sqrt{v}}{1 + \sqrt{v}} - \sqrt{v_0} \ln \frac{1 - \sqrt{v_0}}{1 + \sqrt{v_0}}, \quad /20a/$$

$$Z_2(v) = \sqrt{\frac{1-v}{2}} \ln \frac{1 - \sqrt{\frac{1-v}{2}}}{1 + \sqrt{\frac{1-v}{2}}} - \sqrt{v_0} \ln \frac{1 - \sqrt{v_0}}{1 + \sqrt{v_0}}. \quad /20b/$$

Используя уравнения /18/, /19/ и приближение

$$\sqrt{\frac{v}{v+1}} \Pi_0^T(v) \approx \sqrt{v} \alpha_T + i v \alpha_T^2 \quad /17b/$$

для амплитуд $\pi\pi$ -взаимодействия, мы получаем выражение для g, λ , которые подставляем в /5/. После интегрирования и разложения по степеням v_i /с учетом $v_1 + v_2 + v_3 = 1$ / действительная часть амплитуды распада принимает вид:

$$\frac{\pi}{\Lambda} \operatorname{Re} A = \operatorname{const.} - \frac{\pi}{\alpha} R(\alpha_1, \alpha_0) v_3. \quad /21/$$

Здесь

$$\frac{\pi}{\alpha} R(\alpha_1, \alpha_0) = \frac{5}{3}(\alpha_1 - \alpha_0) + \frac{5}{3}(\alpha_1^2 - \alpha_0^2) - \frac{5}{9\pi}(\alpha_1^2 + \alpha_1 \alpha_0 - 2\alpha_0^2) - \frac{5}{3}(\alpha_1^3 - \alpha_0^3) \quad /22/$$

$$\kappa = \frac{1}{4}(m^2 - 1)^2 - 1 = 0,7 \text{ глж } m^2 = 13.$$

Для v_i мы имеем

$$v_i = \alpha(1 - t_i); \quad /23/$$

здесь t_i — кинетическая энергия i -го π -мезона в системе покоя \mathcal{E} -мезона.

Производя вычитание в симметричной точке $t_i = t_0 = \frac{1}{2}$, где $\Lambda = \text{Re} A(t_0)$, мы получаем для квадрата действительной части A :

$$\frac{1}{\Lambda^2} \left\{ \text{Re} A(t_3) \right\}^2 = 1 + (2t_3 - 1) R(\alpha_1, \alpha_0) + \Gamma^2. \quad /24/$$

Здесь

$$\Gamma^2 = \frac{1}{4} (2t_3 - 1)^2 \left\{ R(\alpha_1, \alpha_0) \right\}^2. \quad /25/$$

Для мнимой части амплитуды распада мы получаем при

$$\text{Im} A(v_1, v_2, v_3) = \rho(v_1) + \rho(v_2) + \lambda(v_3) \quad /26/$$

из уравнений /11/, /146/ /18/ и /19/ следующее выражение

$$\begin{aligned} \frac{1}{\Lambda} \text{Im} A(v_1, v_2, v_3) &\equiv I = \\ &= (\sqrt{v_1} + \sqrt{v_2}) \left\{ \frac{1}{6} (5\alpha_0 + \alpha_1) - \frac{5}{54\pi} (\alpha_1 - \alpha_0) (4\alpha_0 - \alpha_1) \right\} + \sqrt{v_3} \alpha_1 \left\{ 1 + \frac{5}{9\pi} (\alpha_1 - \alpha_0) \right\} \\ &+ (\sqrt{v_1} + \sqrt{v_2}) \left\{ \frac{1}{6} (5\alpha_0^2 + \alpha_1^2) + \frac{5}{18\pi} (\alpha_1 - \alpha_0) (4\alpha_0 - \alpha_1) \right\} + v_3^{\frac{1}{2}} \alpha_1 \left\{ \alpha_1^2 - \frac{5}{3\pi} (\alpha_1 - \alpha_0) \right\} \\ &+ \left(v_1 \sqrt{\frac{v_1 + v_2}{2}} + v_2 \sqrt{\frac{v_1 + v_2}{2}} \right) \left\{ \frac{5}{9} \alpha_0^2 (\alpha_0 + 2\alpha_1) + \frac{1}{18} \alpha_1^2 (5\alpha_0 + \alpha_1) \right\} + v_3 \sqrt{\frac{v_1 + v_2}{2}} \left\{ \frac{1}{3} \alpha_1^2 (5\alpha_0 + \alpha_1) \right\}. \end{aligned} \quad /27/$$

С помощью /23/, /24/ мы имеем для квадрата фейнмановской амплитуды

$$\sigma' \equiv \frac{1}{\Lambda^2} |A|^2 = 1 + (2t_3 - 1) R(\alpha_1, \alpha_0) + K(\alpha_1, \alpha_0; v_i), \quad /28/$$

где

$$K(\alpha_1, \alpha_0; v_i) = \Gamma^2 + I^2. \quad /29/$$

Это выражение сравнивается с величиной σ , которая достаточно хорошо описывает экспериментальные данные^{/7/}:

$$\sigma \equiv |M|^2 = 1 + 0,2(2t_3 - 1). \quad /30/$$

σ и σ' связаны соотношением

$$\sigma = \frac{\sigma'}{1 + I^2(v_i = v_0)} \quad /31/$$

На рис. 2 величина $R(\alpha_2, \alpha_0) = 0,2$ и $\text{Im} A(v_i = v_0) = 0$ представлены как функции от α_2, α_0 .

Если мы подставим значения $\alpha_2 = -0,3$ и $\alpha_0 = -1$, предложенные в /3/, в наши соотношения, то получим $R(-0,3; -1) = -0,35$ и

$$\frac{1}{\Lambda^2} (\text{Im} A)^2 = \begin{cases} 2,6 \\ 1,6 \\ 0,6 \end{cases} ; \quad \sigma = \begin{cases} 0,5 \\ 1 \\ 0,6 \end{cases} \quad \text{г.л.х.} \quad \begin{cases} v_3 = 0; v_1 = v_2 = 0,5, \\ v_3 = v_1 = v_2 = \frac{1}{3}, \\ v_3 = 0,7; v_1 = v_2 = 0,15. \end{cases} \quad /32/$$

Отметим, что в соответствии с /30/ экспериментальная энергетическая зависимость σ для энергий /32/ имеет вид 1,2; 1; 0,8; поэтому вышеуказанные значения α_2, α_0 не пригодны для воспроизведения опытных данных о τ -распаде.

Согласие с экспериментальной энергетической зависимостью может быть получено, например, когда $\alpha_2 = 0,2; \alpha_0 = -0,3$. Мы получаем $R(0,2; -0,3) = 0,16$ и

$$\frac{1}{\Lambda^2} (\text{Im} A)^2 = \begin{cases} 0,07 \\ 0,02 \\ 0,00 \end{cases} ; \quad \sigma = \begin{cases} \approx 1,2 \\ 1 \\ \approx 0,8 \end{cases} \quad /33/$$

В таблице 2 приведены примеры, которые характеризуют зависимость теоретического значения σ от длин рассеяния α_2, α_0 .

Если допустить погрешность в 40% в определении зависящей от энергии части σ найдем, что значения α_2, α_0 заштрихованной на рис. 2 области, воспроизводят опытные данные с достаточной степенью точности.

Таблица 2.

α_2	-1	-0,3	-0,333	-0,2	0	0	0	0,1	0,1	0,15
α_0	-0,465	-1	-0,135	-0,27	-0,5	-0,3	0	0,65	-0,45	-0,4
$\sigma \left\{ \begin{array}{l} v_3=0; v_1=v_2=0,5 \\ v_3=0,7; v_1=v_2=0,15 \end{array} \right\}$	0,64	0,45	0,89	1,21	1,23	1,08	1	1,41	1,28	1,28
	1,41	0,01	1,05	0,68	0,79	0,85	1	0,71	0,79	0,81

α_2	0,2	0,2	0,25	0,3	0,333	0,333	0,4	0,5	0,6	0,7
α_0	-0,3	0,2	-0,35	-0,5	-0,2	0,135	-0,3	0	-0,8	0,11
$\sigma \left\{ \begin{array}{l} v_3=0; v_1=v_2=0,5 \\ v_3=0,7; v_1=v_2=0,15 \end{array} \right\}$	1,22	1,20	1,32	1,13	1,23	1,0	1,36	1,1	1,45	0,95
	0,82	0,87	0,78	0,76	0,83	0,78	0,79	0,95	0,49	1,03

σ как функция от α_2, α_0 /по определению

$$\sigma(v_1=v_2=v_3=\frac{1}{3}) = 1 \text{ /}.$$

Значения, приведенные для σ , относятся к равным энергиям v_1, v_2 . Заметим, что при $v_1 \neq v_2$ в заштрихованной области получены значения, которые мало отличаются от приведенных выше, т.е. при $\alpha_2=0,2; \alpha_0=-0,3$:

$$\sigma(v_3=0; v_1=0,3; v_2=0,7) = 1,24 \text{ ,}$$

$$\sigma(v_3=\frac{1}{3}; v_1=\frac{2}{3}; v_2=0) = 1,00 \text{ ,}$$

$$\sigma(v_3=0,7; v_1=0,3; v_2=0) = 0,84 \text{ .}$$

/34/

Наши значения для длины рассеяния воспроизводят также данные о спектрах π -мезонов в работе /8/. При $\alpha_2=0,2$ и $\alpha_0=-0,3$ мы получаем для π^+ -спектра

$$W(t_1) = \begin{cases} 0,92 \\ 1 \\ 1,11 \end{cases} \text{ для } \begin{cases} v_1=0; v_2=v_3=0,5 \text{ ,} \\ v_1=\frac{1}{3} \text{ ,} \\ v_1=0,7; v_2=v_3=0,15 \text{ .} \end{cases}$$

/35/

Длины $\pi\pi$ -рассеяния α_2, α_0 , полученные таким образом из τ -распада, приводят к некоторым следствиям для относительной величины парциальных волн $\pi\pi$ -взаимодействия. Из интегральных уравнений для $\pi\pi$ -рассеяния в работе /4/ может быть выведено следующее соотношение между α_2 и α_0 :

$$2\alpha_0 - 5\alpha_1 = \frac{1}{\pi} \int_0^{\infty} \frac{d\nu}{\nu(\nu+1)} \left\{ 2J_m \Pi_0^0(\nu) + 9J_m \Pi_1^1(\nu) - 5J_m \Pi_0^2(\nu) \right\}. \quad /36/$$

Для всех пар α_1 и α_0 , воспроизводящих экспериментальный спектр τ -распада, комбинация $(2\alpha_0 - 5\alpha_1)$ отрицательна.

Такой результат не обязательно противоречит возможности резонанса в P -волне, но свидетельствует в пользу существования $(T=2)$ -резонанса в $J\pi$ -взаимодействии.

Л и т е р а т у р а

1. Л.Окунь. Материалы ежегодной конференции по физике высоких энергий, Рочестер, 1960.
2. S.Fubini, R.Strofolini. Nuovo Cim., XVII, 263 (1960).
3. N.Khuri, S.Treiman. Phys. Rev., 119, 1115 (1960).
4. Сянь Дин-чан, Хэ Цзо-сю, В. Целлнер. ЖЭТФ, 39, 1668 /1960/.
5. M.Cini, S.Fubini. Ann. Phys., 3, 352 (1960).
6. R.Sawyer, K.Wali. Phys. Rev., 119, 1429 (1960).
7. M.Gell-Mann, A.Rosenfeld. Annual Review of Nuclear Science. Vol. 7, p. 463.
8. S.McKenna, et al. Nuovo Cimento, 10, 763 (1958).

Рукопись поступила в издательский
отдел 24 марта 1961 г.

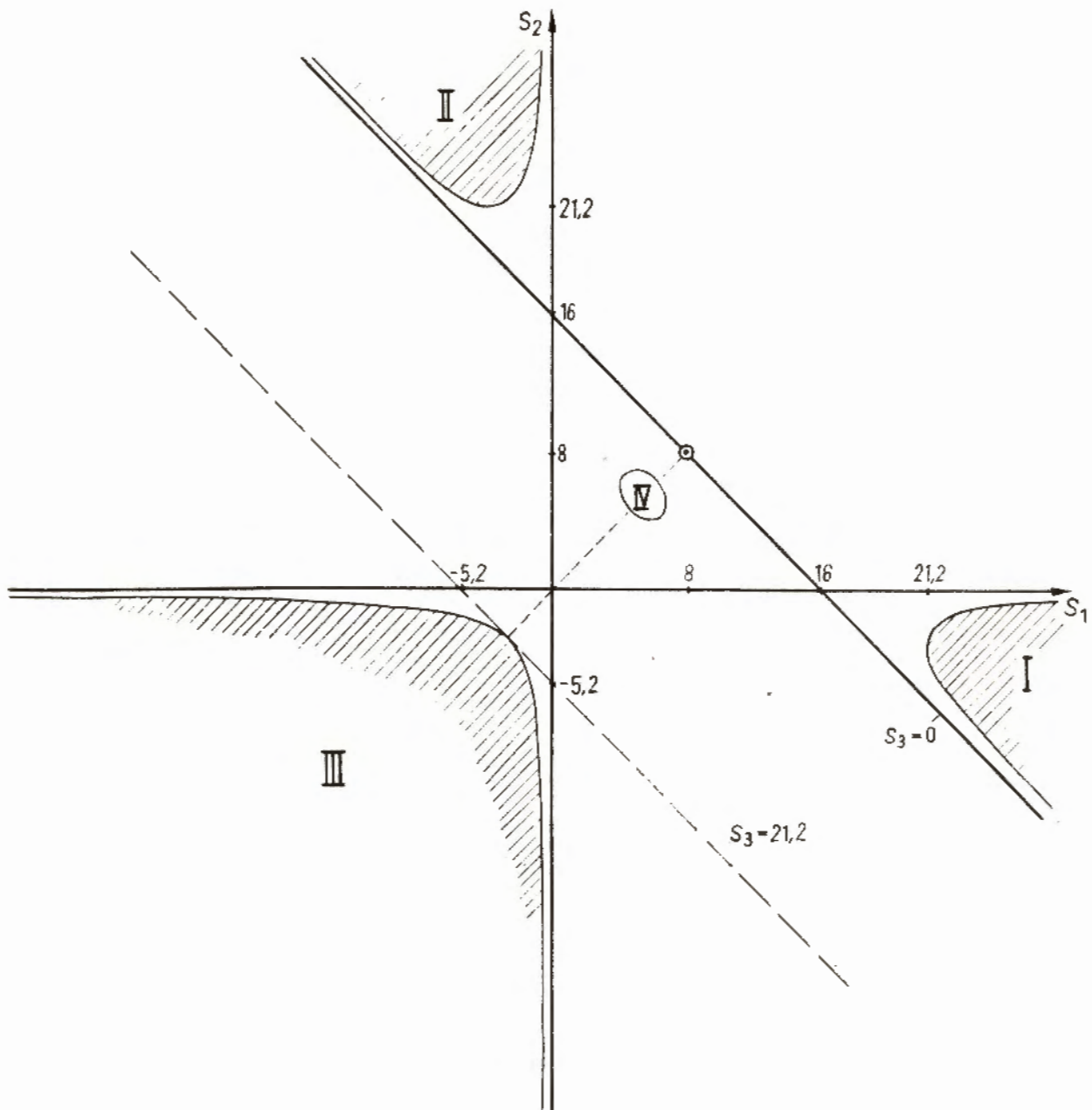


Рис. 1.

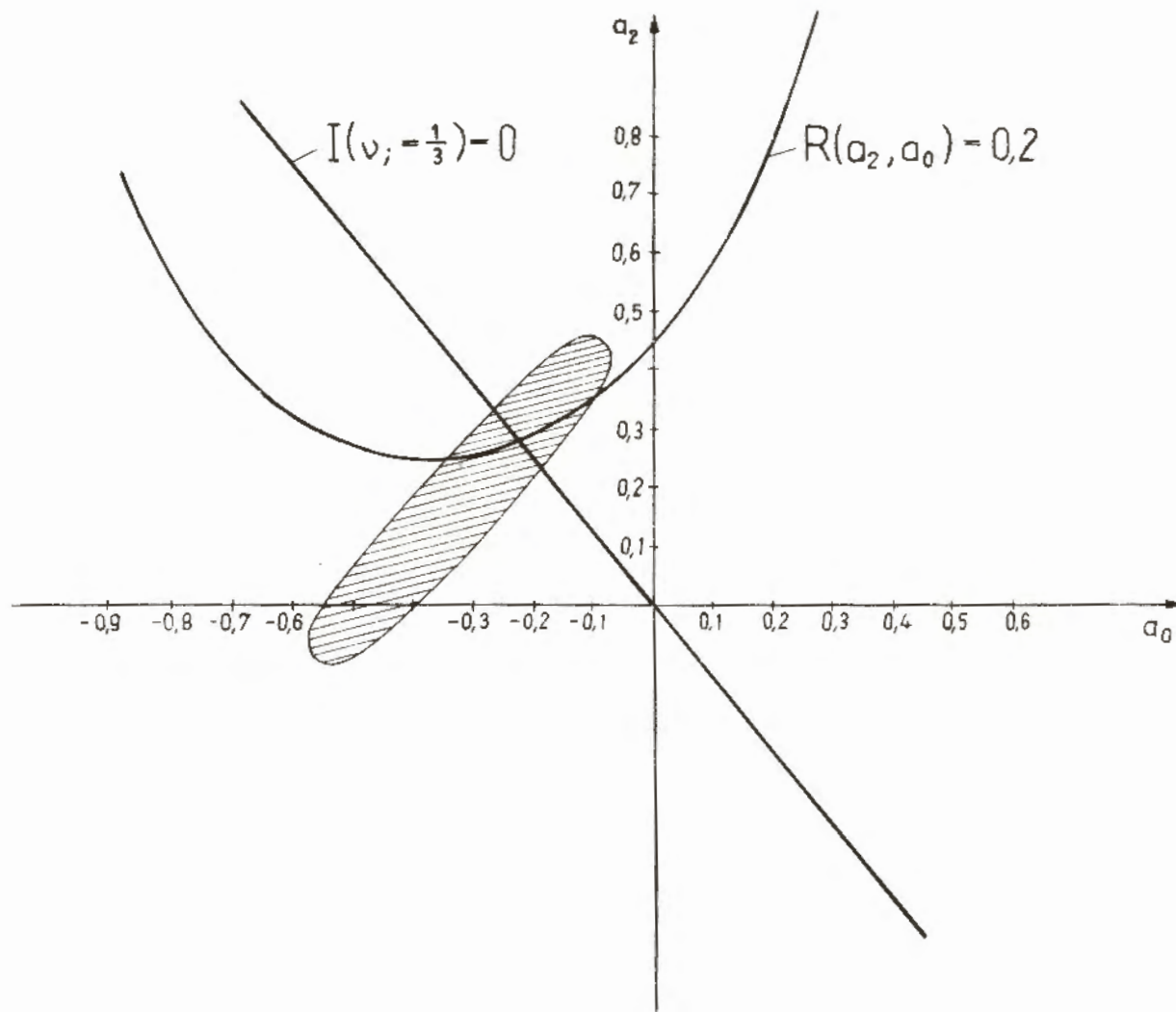


Рис. 2.